

CENTRO DELLE VELOCITA'

Titolo nota

30/10/2012

3) punto Cv del piano mobile (se $\dot{\theta} \neq 0$)

(punto E al corpo rigido o a una sua estensione rigida) che è fermo, all'istante t considerato, nel sistema fisso

$$\underline{v}_B = \underline{v}_A + \underline{\omega} \wedge \underline{AB}$$

$$\underline{\omega} = \dot{\theta} \hat{E}$$

$$\underline{v}_{C_V} = 0$$

$$0 = \underline{v}_A + \underline{\omega} \wedge \underline{AC_V}$$

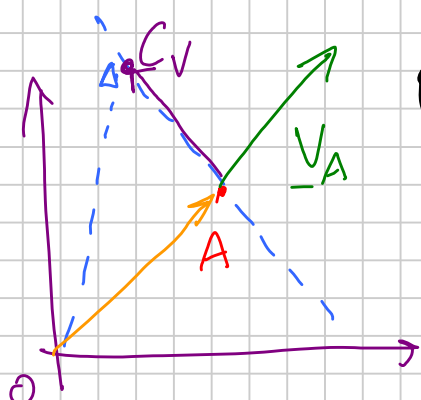
$$AC_V = \frac{\underline{\omega} \wedge \underline{v}_A}{|\underline{\omega}|^2} = \frac{\dot{\theta} \hat{k} \wedge \underline{v}_A}{|\underline{\omega}|^2} = \frac{\hat{k} \wedge \underline{v}_A}{\dot{\theta}}$$

$$\underline{v}_A = \dot{x}_A \hat{i} + \dot{y}_A \hat{j}$$

$$AC_V = \frac{\dot{x}_A \hat{j} - \dot{y}_A \hat{i}}{\dot{\theta}}$$

$$OA = x_A \hat{i} + y_A \hat{j}$$

$$OC_V = \left(x_A - \frac{y_A}{\dot{\theta}} \right) \hat{i} + \left(y_A + \frac{\dot{x}_A}{\dot{\theta}} \right) \hat{j}$$



$$\dot{\theta} > 0$$



$$\dot{\theta} < 0$$

$$|AC_V| = \frac{|\underline{v}_A|}{|\dot{\theta}|}$$

Se considero un altro istante di tempo t'
 } un nuovo centro delle velocità C'_V
 che non è fatto (in genere) dalla stessa porzione
 di materia (elementino materiale) di C_V

Per avere un punto che identifica chi è il C_V
 in un intervallo I di tempo in cui $\theta \neq 0$
 si introduce un punto geometrico sovrapposto
 istante per istante al C_V

- Si guadagna una relazione valida $\forall t \in I$
- Perdiamo la condizione di rigidità

Il punto geometrico sovrapposto istante per istante
 al C_V è detto CENTRO DI INSTANTANEA
 ROTAZIONE

$O_C(t)$ rappresenta il moto di un punto geometrico
 che non è vincolato rigidamente al corpo

$$v_p(t) = \underline{\omega} \wedge C_t P$$

NON È LA FORMULA DELLA CIN. RIGIDA

Punto geom. punto € corpognato

Se $\theta \neq 0$ l'atto di moto del corpo rigido è
 una rotazione intorno ad un asse \perp piano fisso e passante

santo per il CIR

Se $\dot{\theta} = 0$ il CV è "all'infinito" e l'atto di moto è traslatorio

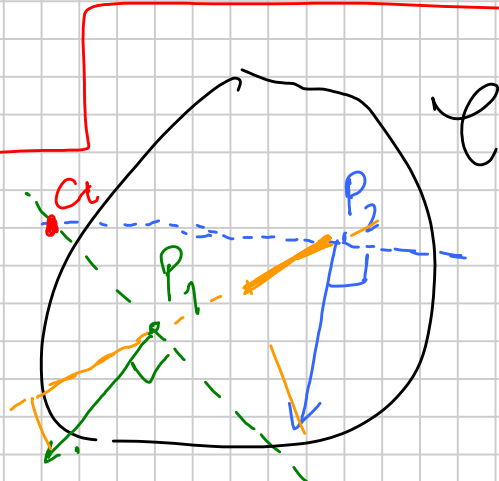
Moti rototraslatori in cinematica rigida

piano

La velocità di un qualunque punto P del corpo rigido C è \perp al vettore $C_t P$

Questo vale HPEC

Tutte le perpendicolari ai vettori velocità (a un istante t) dei punti $\in C$ (o una sua estensione rigida) devono incontrarsi nel punto C_t



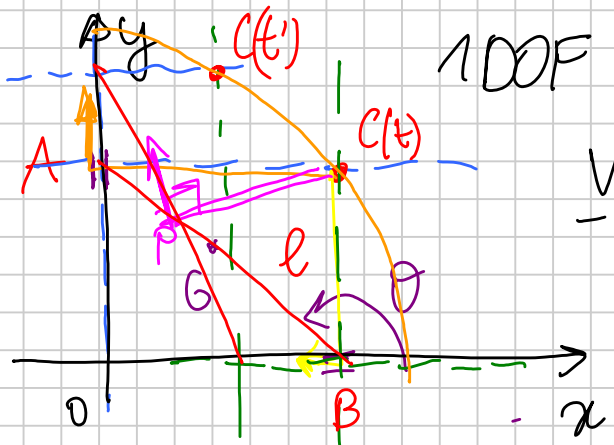
La traiettoria di $C(t)$ nel piano fisso è detta polare fissa o base

La traiettoria di $C(t)$ nel piano mobile è detta polare mobile o mulietta

• Nella tecnologia meccanica base e mulietta sono utilizzate per la progettazione di ingranaggi

Durante il moto piano di un corpo rigido \mathcal{C} la polare mobile rotola senza strisciare sulla polare fissa

ESEMPIO



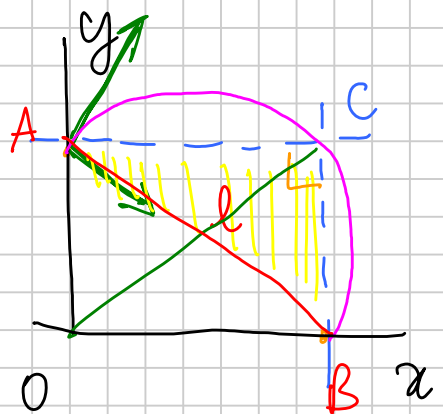
1DOF

$|C + P|$ non

$$V_p = \omega \times C_t P \text{ costante}$$

figura formata

della cinematica
rigida



$OBCA$ è un
rettangolo

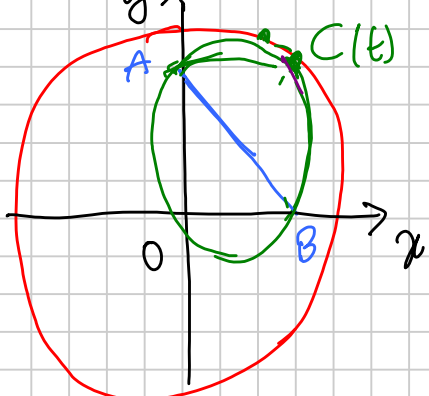
$$|AB| = |OC| = l$$

C è al ogni istante t distal da O

→ C si muove su una circonferenza di centro O
e raggio l

→ Nel sist. di nf. solidale, C_t si muove su
una circonferenza che ha per diametro il baricentro G

la polare mobile è una circonferenza di centro G
e raggio $l/2$



Durante il moto del corpo rigido C , la P.m. rotola senza strisciare (r.s.s.) sulle P.f.

$$\underline{v}_C(t) = \frac{d\underline{C}}{dt} \quad \underline{v}_C^{(a)} = \underline{v}_C^{(r)} + \cancel{\underline{v}_C^{(t)}}$$

\uparrow \uparrow $\uparrow ?$

Piano fisso Piano mobile

$C(t)$ all'istante t è composto ad un punto C_f di C che ha velocità nulla

Per def. di velocità di fascinamento $\underline{v}_C^{(t)} = \underline{0}$

$$\underline{v}_C^{(a)} = \underline{v}_C^{(r)} \rightarrow \text{at ogni istante di tempo } t$$

P.f. e P.m. sono tangenti in C_f

perché la retta per C_f è diretta come \underline{v}_C è tangente ad entrambe

$$ds^{(f)} = |\underline{v}_C^{(a)}(t)| dt$$

$$ds^{(m)} = |\underline{v}_C^{(r)}| dt \quad \rightarrow \quad ds^{(f)} = ds^{(m)}$$

PROFILI CONIUGATI

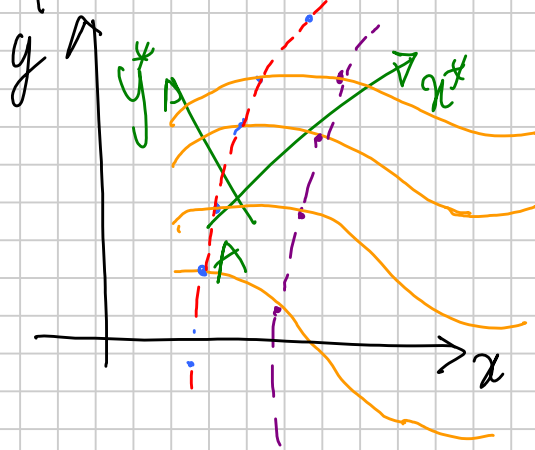
Supponiamo di prendere una curva β sul piano mobile

Durante il moto β genera una famiglia di curve γ , ognuna di queste è realizzata da un valore di un parametro s . Questa famiglia di curve, in generale, ammette un insieme

b è tangente a tutte le curve di γ

$$\begin{cases} F(x, y, s) = 0 \\ \frac{\partial F}{\partial s} = 0 \end{cases} \rightarrow g(x, y) = 0 \text{ che descrive la curva } b$$

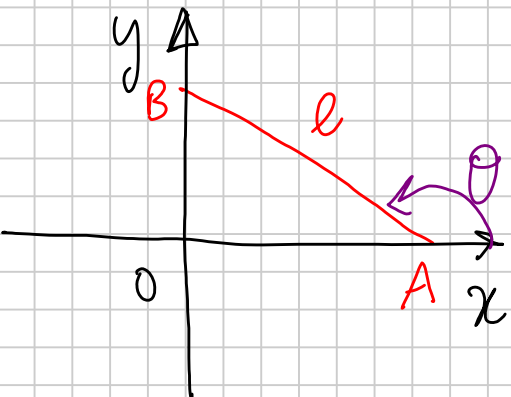
b e β sono detti profili coniugati



La normale comune a b e β nel punto di contatto B (geometrico) al tempo t passa per il $C(t)$ ottenuto considerando β come un corpo rigido in movimento

In genere β muove strisciando su b perché la velocità di trascinamento di B non è 0
Se $B(t) \equiv C(t)$ allora $v_B^{(t)} = 0$ e non c'è strisciamento, come accade fra p.f. e p.m.

ESEMPIO "SIMILE" AL PRECEDENTE



$$A \in (-l \cos \theta, 0)$$

$$B \in (0, l \sin \theta)$$

$$\text{eq. della retta per } A \text{ e } B = \frac{x}{-l \cos \theta} + \frac{y}{l \sin \theta} = 1$$

$$\begin{cases} -x \sin \theta + y \cos \theta - l \sin \theta \cos \theta = 0 & \text{fascio di} \\ -x \cos \theta - y \sin \theta - l \cos^2 \theta + l \sin^2 \theta = 0 & \text{rette per } A(\theta) \text{ e} \\ & B(\theta) \end{cases}$$

per ricavare la curva β , posso misurare per $x(\theta)$ e $y(\theta)$

$$\begin{cases} x \sin \theta - y \cos \theta = -l \sin \theta \cos \theta \\ x \cos \theta + y \sin \theta = -l (\cos^2 \theta - \sin^2 \theta) \end{cases}$$

$$\Delta = \sin^2 \theta + \cos^2 \theta = 1$$

$$\alpha = \begin{vmatrix} -l \sin \theta \cos \theta & -\cos \theta \\ -l (\cos^2 \theta - \sin^2 \theta) & \sin \theta \end{vmatrix} = -l \sin^2 \theta \cos \theta - l \cos^3 \theta + l \cos \theta \sin^2 \theta$$

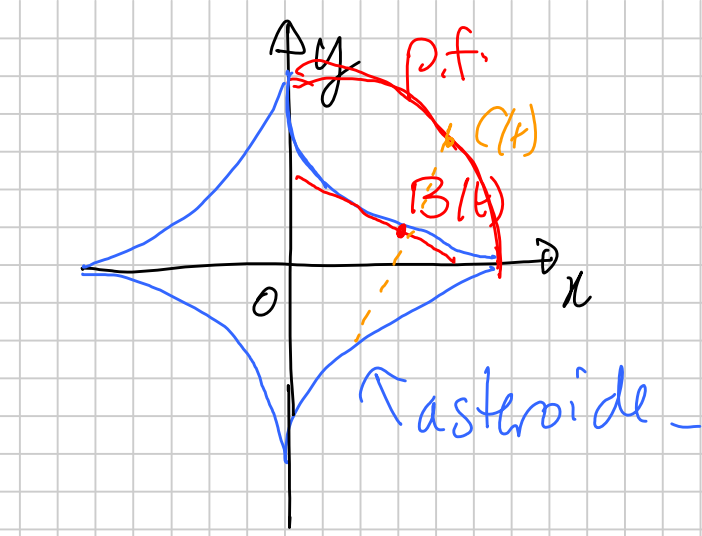
$$x = -l \cos^3 \theta$$

$$y = \begin{vmatrix} \sin \theta & -l \sin \theta \cos \theta \\ \cos \theta & -l (\cos^2 \theta - \sin^2 \theta) \end{vmatrix} = l \sin^3 \theta - l \sin \theta \cos^2 \theta + l \sin \theta \cos^2 \theta$$

$$\begin{cases} x = -l \cos^3 \theta \\ y = l \sin^3 \theta \end{cases}$$

$$\cos(\theta) = \left(\frac{-x}{l}\right)^{1/3}$$

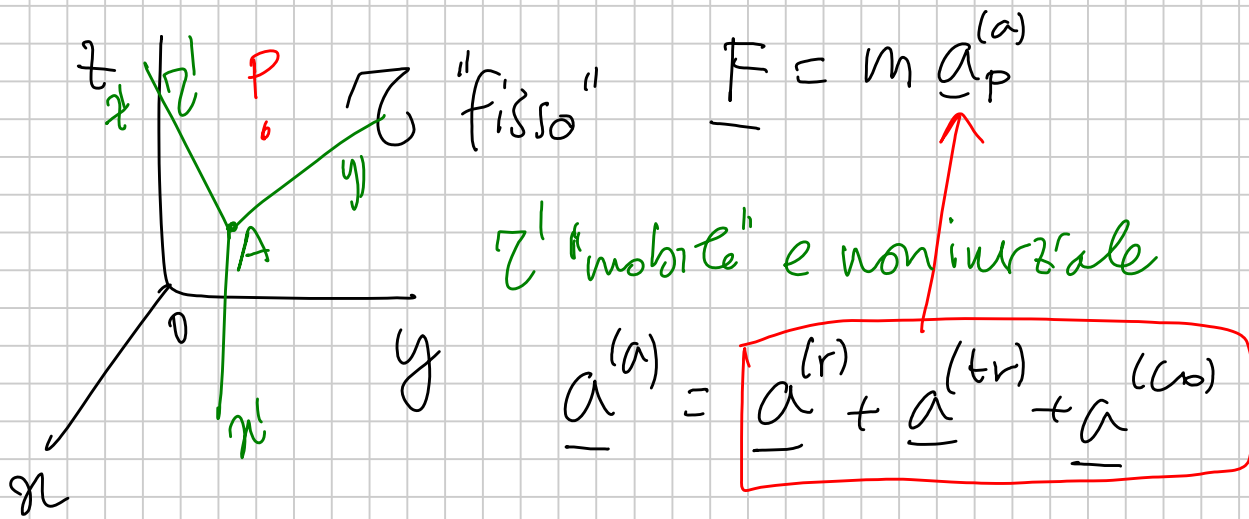
$$\sin\theta = \left(\frac{y}{l}\right)^{1/3}$$



$$\left(\frac{x}{l}\right)^{2/3} + \left(\frac{y}{l}\right)^{2/3} = 1$$

$$x^{2/3} + y^{2/3} = l^{2/3}$$

DINAMICA E STATICA RECATIVA DEL PUNTO MATERIALE



$$\underline{F} = m \left(\underline{\alpha}^{(r)} + \underline{\alpha}^{(tr)} + \underline{\alpha}^{(co)} \right)$$

Possesse utile descrivere il moto di P in \mathcal{Z}'

$$\underline{F} - ma^{(tr)} - m \underline{\alpha}^{(co)} = ma^{(r)}$$

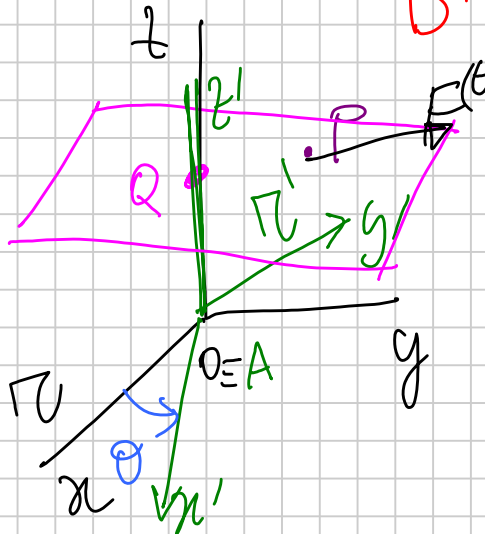
$\underline{\alpha}^{(r)} = \dot{x}' \dot{x} + \dot{y}' \dot{y} + \dot{z}' \dot{z}$

accelerat. di P misurata da un osservatore solidale a \mathcal{Z}'

$$AP = x' \hat{i}' + y' \hat{j}' + z' \hat{k}'$$

$$\underline{m}\underline{a}^{(r)} = \underline{F} + \underline{\underline{F}}^{(t)} + \underline{\underline{F}}^{(co)}$$

FORZE APPARENTI O FORZE D'INERZIA



$$\underline{\omega} = \dot{\theta} \hat{k} = \dot{\theta} \hat{k}'$$

$\dot{\theta}$ è costante

$$\underline{a}_{co} = 2\dot{\theta} \hat{k} \times \underline{v}_P^{(r)}$$

$$\underline{\underline{F}}^{(co)} = -2m\dot{\theta} \hat{k} \times \underline{v}_P^{(r)}$$

$O \in A$

$$\underline{\underline{F}}^{(t)} = -m\underline{a}_P^{(t)} = -(-m\dot{\theta}^2 QP) = m\dot{\theta}^2 QP$$

NEL CASO DELLA STATICA RELATIVA

$$P \text{ è fermo in } \mathcal{B}' \quad \underline{v}_P^{(r)} = \underline{0} \quad \underline{a}_P^{(r)} = \underline{0}$$

$$\underline{\Omega} = \underline{\underline{F}} + \underline{\underline{F}}^{(t)} \quad \text{non c'è forza di Coriolis}$$

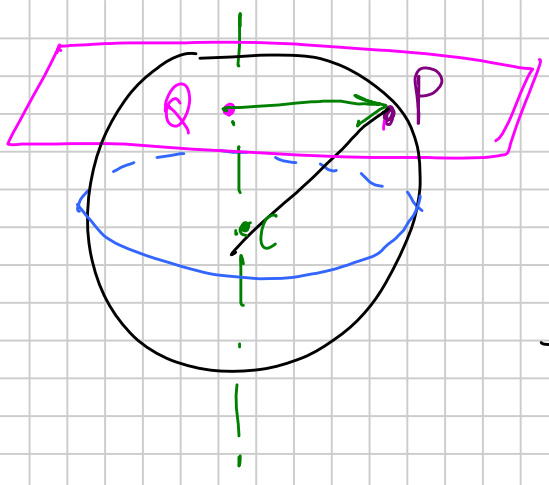
$$\underline{\underline{F}}^{(co)} = \underline{\Omega} \text{ però } \underline{v}^{(r)} = \underline{0}$$

ESEMPIO DI STATICA

Oggetto fermo rispetto a Terra in prossimità della Terra
↳ nelle disp. MATTEI)

$$\underline{P} = M \underline{g} + \underline{\underline{F}}^{(t)}$$

↗ causata dalla rotazione della Terra intorno al proprio asse con velocità angolare ω



$$\underline{P} = mg + m\omega^2 QP$$

$$\omega = \frac{2\pi}{86400} \frac{\text{rad}}{\text{s}}$$

$$\underline{P} = m(g + \omega^2 QP)$$

grauità effettiva

$$|g| = \frac{M_{\oplus} \cdot G}{R_{\oplus}^2}$$

$$g = \frac{M_{\oplus} \cdot G}{R_{\oplus}^3} \cdot P_C$$

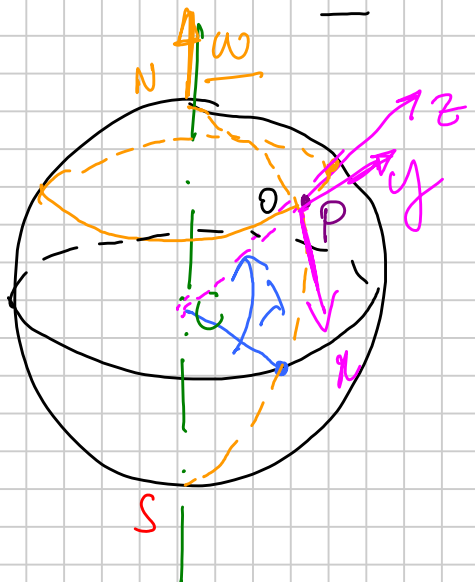
Sensibile forza fonda il punto matriceale P

occorre applicare ad esso una forza \underline{F} tale

$$\underline{F} + \underline{mg} + m\omega^2 QP = \underline{0}$$

Cosa succede se P si muove verso la Terra?

$$\cancel{m \underline{a}^{(r)} = \underline{mg} + \cancel{m|\omega|^2 QP} - 2 \cancel{m \omega / v_p^{(r)}}}$$



asse x tangente al meridiano
passante per O

asse y tangente al parallelo
passante per O

asse z lungo CP

Origine O $CP \cap$ superficie terrestre

dovrebbe essere x' y' z' \rightarrow sono assi mobili

$$\underline{\omega} = \omega_x \hat{i} + \omega_y \hat{j} + \omega_z \hat{k}$$

A = latitudine d'0

$$\omega_x = -|\underline{\omega}| \cos \lambda \quad \omega_y = 0 \quad \omega_z = |\underline{\omega}| \sin \lambda$$

$$\underline{v}_P^{(r)} = \dot{x} \hat{i} + \dot{y} \hat{j} + \dot{z} \hat{k}$$

$$\underline{\omega} \wedge \underline{v}^{(r)} = \begin{vmatrix} \hat{i} & \hat{j} & \hat{k} \\ -\omega_x & 0 & \omega_z \\ \dot{x} & \dot{y} & \dot{z} \end{vmatrix} =$$

$$-|\underline{\omega}| y \sin \lambda \hat{i} + (|\underline{\omega}| z \cos \lambda + |\underline{\omega}| x \sin \lambda) \hat{j}$$

$$-|\underline{\omega}| y \cos \lambda \hat{k} \quad g = -|g| \hat{k}$$

$$\omega^2 QP = ? \quad |QP| = |CP| \cos \lambda$$

$$|CP| = R_T + z_p \approx R_T$$

Bisognerebbe scomporre QP lungo gli assi mobili

In realtà non lo faremo perché $|F^{(t)}| \propto \omega^2$

$$[F^{(co)}] \propto \omega \quad |F^{(t)}| \ll [F^{(co)}]$$

$$a^{(r)} = -|g| \hat{k} - 2 \underline{\omega} \wedge \underline{v}^{(r)}$$

$$\boxed{\ddot{x} = 2 \omega \dot{y} \sin \lambda} \quad \ddot{y} = -2 \omega \dot{z} \cos \lambda - 2 \omega \dot{x} \sin \lambda$$

$$\ddot{z} = -g + 2 \omega \dot{y} \cos \lambda$$

$$x(0) = y(0) = 0 \quad z(0) = h \ll R_T$$

$\dot{x}(0) = \dot{y}(0) = \dot{z}(0)$ l'oggetto parte da fermo ad alto livello h da terra

$$\ddot{x} = 2\omega y \sin \alpha \quad \text{miglioriamo}$$

$$\ddot{y} = 2\omega y \sin \alpha + g \quad (\omega \text{ costante}, \alpha = \text{costante})$$

$$0 = 2\omega \cdot 0 \cdot \sin \alpha + g \rightarrow g = 0$$

$$\dot{x} = 2\omega y \sin \alpha$$

$$\ddot{z} = -g + 2\omega y \cos \alpha$$

$$\dot{z} = -gt + 2\omega y \cos \alpha + C'$$

$$z(0) = -g \cdot 0 + 2\omega y(0) \cos(\alpha) + C' \rightarrow C' = 0$$

$$\dot{x} = 2\omega y \sin \alpha$$

$$\dot{z} = -gt + 2\omega y \cos \alpha$$

$$\ddot{y} = -2\omega(-gt + 2\omega y \cos \alpha) \cos \alpha - 2\omega(2\omega y \sin \alpha) \sin \alpha$$

$$\ddot{y} = 2\omega g t \cos \alpha - 4\omega^2 y \quad \text{trascutibile}$$

$$\dot{y} = \omega g t^2 \cos \alpha \quad \cancel{\text{t}}$$

$$y = \frac{1}{3} \omega g \cos \alpha t^3 \quad y(t) > 0$$

C'è un moto lungo y

$$\ddot{x} = 2\omega \cdot \frac{1}{3} \omega g \cos \alpha t^3 \sin \alpha \propto \omega^3 \quad \text{trascutibile}$$

$$\dot{z} = -gt + 2\omega \left(\frac{1}{3} \omega g \cos \lambda t^3 \right) \cos \lambda \quad \text{e} \quad \omega^2 \text{ trascurabile}$$

$$\dot{z}(t) = -gt \quad z(t) = h - \frac{1}{2} gt^2 \quad \bar{t} = \sqrt{\frac{2h}{g}}$$

$$y(\bar{t}) = \frac{1}{3} \omega g \cos \lambda \left(\sqrt{\frac{2h}{g}} \right)^3 \quad \checkmark > 0 \quad \text{punto di caduta}$$

è spostato verso EST nell'emisfero Nord